

II-21 横から流入する流れの一計算法

東北大学 正員 岩崎敏夫
東北大学 正員 〇古本幸雄

横から流入する流れの水路を一般断面に適用できるように拡張し、水面形を水路特性で明らかにし、これを利用して計算する一方法を提案し、これと模型実験による実測値とを比較したものである。

横より流入のある流れの基本方程式は、一般断面に適用した場合に、水路の底勾配 i 、粗度係数 n 、また底に沿って下流方向に x をとる、ある点の水深 h 、至深 R 、断面積 A 、水面幅 T 、流量 Q 、横よりの流入量単位幅当たり q とすると次のようになる。

$$\frac{dh}{dx} = \frac{i - (1 + \frac{m}{2}) \frac{\alpha q Q}{g A^3} - \frac{\pi Q^2}{R^3 A^3}}{1 - \frac{\alpha Q^2 T}{g A^3}} = \frac{F_1(h, Q, x)}{F_2(h, Q, x)} \quad (1)$$

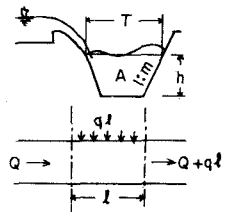


Fig.1

ここに m は、横より流入する水の x 方向へ貢献するヘッドを E であらわすと、流速 v として

$$m = \frac{dv^2/2g + h + z - E}{dv^2/2g} \quad (2)$$

であらわされる。ただし、 z は E をはかる基準線より底までの高さ(高度ヘッド)である。

いま $E = h + z$ (3) と仮定すると、(2)より $m = 1$ となる。水面計算は初期値を与えて(1)を次々と数値積分するのであるが、多数の数値計算を(1)に基づいて行うのは極めて複雑に耐えないので着るは(1)をやや変形して次のように取扱った。

$$(1) \text{の右辺分子の式 } F_1(h, Q, x) \text{ を変形すると } F_1 = -\frac{n^2}{R^3 A^3} (Q^2 + \frac{3}{2} \frac{\alpha q}{n^2} R^{4/3} Q - \frac{R^{4/3} A^3}{n^2} i) \quad (4)$$

$$(4) \text{の右辺括弧内は } Q \text{ に内する二次方程式であるから、 } b = \frac{3}{2} \frac{\alpha q}{n^2} R^{4/3}; c = -\frac{1}{n^2} R^{4/3} A^3 i \quad (5)$$

$$\text{とかくと、 } F_1 = 0 \text{ を満足する2根 } Q_1, Q_2 \text{ は } \left. \begin{matrix} Q_1 \\ Q_2 \end{matrix} \right\} = -\frac{b}{2} \pm \sqrt{\left(\frac{b}{2}\right)^2 - c} \quad (6)$$

$$\text{よって(4)は、 } F_1 = -\frac{n^2}{R^3 A^3} (Q - Q_1)(Q - Q_2) \quad (7) \text{ とかくことができる。}$$

$$\text{同様に(1)の右辺分母の項は、 } F_2 = -\frac{\alpha T}{g A^3} (Q - Q'_1)(Q - Q'_2) \quad (8) \quad \left. \begin{matrix} Q'_1 \\ Q'_2 \end{matrix} \right\} = \pm \sqrt{\frac{g A^3}{\alpha T}} \quad (9)$$

$$\text{とかける。よって(1)は } \frac{dh}{dx} = K \frac{(Q - Q_1)(Q - Q_2)}{(Q - Q'_1)(Q - Q'_2)} \quad (10) \quad K = \frac{n^2}{R^3 A^3} \frac{g A^3}{\alpha T} \quad (11)$$

となる。 K, Q_1, Q_2, Q'_1, Q'_2 はすべて h の函数であって断面形が与えられると計算することができる。その際(1)で知れるように Q_1, Q_2 は流入量 q によって異なるが、 K, Q'_1, Q'_2 は q に依らず一定である。Fig. 2, 3, 4に示すような水路についての計算の結果は、Fig. 5に示すようになった。Fig. 5において、 Q と Q'_1 の交点 $h (= h_0)$ と $Q (= Q_c)$ の値は(10)の分子、分母をいづれも0にするから、 $F_1 = 0$ と $F_2 = 0$ を満足する2つの水深 h と x の2曲線の交点における値を示している。それゆえにこの点が

control section において、その点を生ずる水深は $h_c = \sqrt[3]{\frac{Q_c}{g b_c}}$ (2)

によって求めることができる。もし、横断流堤の長さ $l_0 (=5.2m)$ に対し、 h_c が浅くあれば、control section は水路の途中に生じる。これは側溝部末端での流量が $Q_c (=q_c l_0) > Q_c (=q_c l_c)$ なる条件が成り立つことができる。したがって Fig. 5 によって容易に水路の途中にて control section が起るか否かを知ることができる。この水路では、 $Q_0 = 39.4 m^3/sec$ 、 $h_c = 19.7 m/sec$ の場合にその状態になっている。

もし、 $Q_0 < Q_c$ であれば control section は側溝部の末端に生じ、 $Q_c = Q_0$ となった時の Q_c - h 曲線のみを示すのが限界水深 h_c である。この計算では $Q_0 = 59.2, 75.7, 97.4 m^3/sec$ の場合にはそのようになっている。

水面形計算の方向は、control section を出発点として上下流へ進めるのは、普通に云われる通りである。この場合(10)の数値積分に当り、Fig. 5 を用いると、極めて迅速に結果を求めることができる。

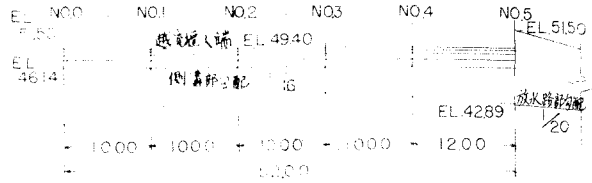


Fig. 2 scale:m

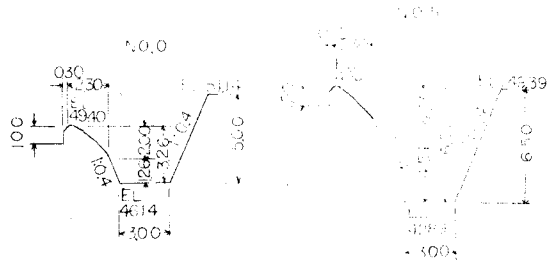


Fig. 3 scale:m

Fig. 4 scale:m

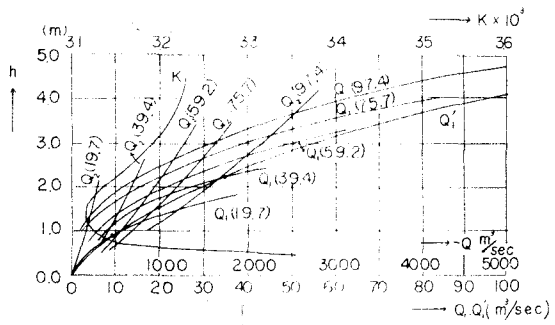


Fig. 5

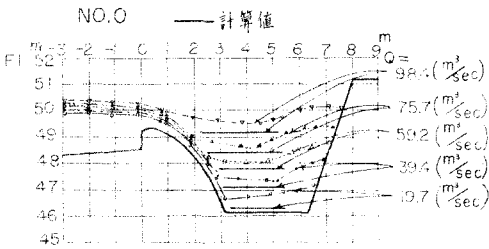


Fig. 6

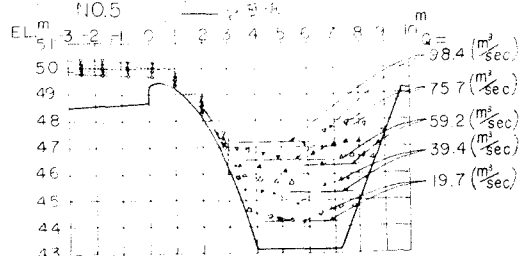


Fig. 7

Fig. 6, 7は実験結果と計算結果とを比較したものである。

Fig. 5は水面形の性質を知るのに、とちいることができる。